

Calendario Corso Fisica Generale II (Marco Mazzeo)

Parte I

LEZIONE	TITOLO	ARGOMENTO	CAPITOLI	ESERCIZI
1	Teorie di campo vettoriali.	Newtoniani e azione a distanza. Sulla scia di Cartesio: Faraday e le teorie di campo. Relatività e teorie di campo. Flussi, circuitazioni, divergenze e rotori. Applicazione al caso del campo gravitazionale. Leggi di Maxwell.	Dispense	
2	Elettrostatica 1 $\text{div}E = \rho/\epsilon_0$ $\text{rot}E = 0$ $F = qE$	Fenomeni di elettrostatica, induzione, caricamento per strofinio, strumenti di elettrostatica. Campo e potenziale di una carica puntiforme e legge di Coulomb, campo e potenziale di configurazioni di carica simmetriche.	Cap. 23-24 Serway-Jewett	
3	Elettrostatica 2	Potenziale Elettrostatico V , Energia potenziale U , campi conservativi, superfici equipotenziali. Conduttori e gabbia di Faraday. Breakdown, scariche elettriche e fulmini.	Cap. 25 Serway-Jewett	
4	Elettrostatica 3	Capacità di un condensatore, energia del campo elettrico, energia di un cristallo di sale. Introduzione alla Polarizzazione e ai dielettrici, Campo e potenziale di un dipolo, bottiglia di Leida, generatore di Van der Graaf.	Cap. 26 Serway-Jewett	
5	Elettrodinamica stazionaria	Correnti, resistività, Legge di Ohm. Batterie, forza elettromotrice, Potenza elettrica, Leggi di Kirchoff e leggi di Maxwell, Generare scariche con acqua. Circuiti RC.	Cap. 27-28 Serway-Jewett	
6	Lezione di chiusura parte I	La pila: frutto di una ricerca di base attorno all'elettricità animale. Il Grafene: futuro dell'elettronica?	Personaggi e scoperte della fisica classica "E. Segrè".	

Parte II

6	Magnetostatica 1 $\text{div}\mathbf{B}=0$ $\text{rot}\mathbf{B}=\mu_0\mathbf{J}$ $\mathbf{F}=q\mathbf{v}\times\mathbf{B}$	Forza di Lorentz, Ciclotrone, separazione degli isotopi, aurora boreale, Ancora newtoniani: la Legge di Biot-Savart. Esercizi.		
7	Magnetostatica 2	Legge di Ampère, campo magnetico di: un filo conduttore e un solenoide.		
8	Elettrodinamica 1 $\text{rot}\mathbf{E}=-d\mathbf{B}/dt$	Legge di induzione e forza elettromotrice indotta, non conservatività del campo elettrico, dinamo e generatori, correnti parassite, applicazioni legge di Farady-Lenz.		
9	Elettrodinamica 2	Autoinduzione e induttanza, energia del campo magnetico, circuiti RL, circuiti LC, circuiti RLC,		
10	Elettrodinamica 3	Resistori, induttori e capacitori in corrente alternata. Risonanza. Trasformatori, raddrizzatori, filtri.		
11	Lezione di chiusura Parte II	Premio motore più veloce dell'anno (10% punti d'esame). Il transistor e il computer: una tecnologia "elettromagnetica"		

Parte III

11	Onde EM $\text{div}\mathbf{E}=\rho/\epsilon_0$ $\text{div}\mathbf{B}=0$ $\text{rot}\mathbf{E}=-d\mathbf{B}/dt$ $\text{rot}\mathbf{B}=\mu_0\mathbf{J}+\epsilon_0\mu_0d\mathbf{E}/dt$	Legge di Ampère generalizzata, equazioni di Maxwell e la prova sperimentale di Hertz. Energia delle onde elettromagnetiche e vettore di Pointing. Antenne. Progetto di radio a diodo al germanio.	
12	Lezione di chiusura Parte II e congedo	Meccanica ed EM: un conflitto insanabile. La soluzione del conflitto: un mondo logico ma ... folle! La vita e l'elettromagnetismo.	QED: la strana teoria della luce e della materia; Sei pezzi facili; La legge fisica: "R. Feynman"

LEGGI DEL CAMPO E.M.

I) $\vec{\nabla} \cdot \vec{E} = \rho / \epsilon_0$	II) $\vec{\nabla} \times \vec{E} = - \frac{\partial \vec{B}}{\partial t}$
III) $\vec{\nabla} \cdot \vec{B} = 0$	IV) $\vec{\nabla} \times \vec{B} = \epsilon_0 \mu_0 \frac{\partial \vec{E}}{\partial t} + \mu_0 \vec{J}$
$\vec{F} = q(\vec{E} + \vec{v} \times \vec{B})$	V) Forma di Lorentz
VI) $\vec{\nabla} \cdot \vec{J} = - \frac{\partial \rho}{\partial t}$	VII) Cons. carica (DERIVA DA I e IV)

$$\vec{E}_{TOT} = \sum_k \vec{E}_k$$

$$\vec{B}_{TOT} = \sum_k \vec{B}_k$$

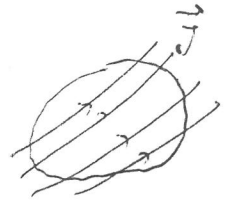
Se \vec{B} ed \vec{E} non variano nel tempo le equazioni si disaccoppiano e i campi pure

ELETTROSTATICA	MAGNETOSTATICA
$\vec{\nabla} \cdot \vec{E} = \rho / \epsilon_0$	$\vec{\nabla} \cdot \vec{B} = 0$
$\vec{\nabla} \times \vec{E} = 0$	$\vec{\nabla} \times \vec{B} = \mu_0 \vec{J}$
$\vec{F} = q\vec{E} \quad (\mu \vec{B} = 0)$	$\vec{F} = q \vec{v} \times \vec{B} \quad (\mu \vec{E} = 0)$

OSSERVAZIONI Sulla VI

$\vec{J} \times \vec{B}$
Corrente di piana

$$\vec{\nabla} \cdot \vec{J} = - \frac{\partial \rho}{\partial t} \Rightarrow \int_{\text{Volume chiuso}} \vec{\nabla} \cdot \vec{J} dV = - \frac{\partial}{\partial t} \int_{\text{Volume chiuso}} \rho dV \Rightarrow$$



$$\Rightarrow \int_{\text{Superficie}} \vec{J} \cdot d\vec{A} = - \frac{\partial Q}{\partial t}$$

Superficie \Downarrow
Corrente I

$$\Rightarrow \boxed{I = - \frac{dQ}{dt}}$$

DEFINIZIONI &
TEOREMI DA RICORDARE

$$1) \vec{\nabla} \phi = \frac{\partial \phi}{\partial x} \hat{x} + \frac{\partial \phi}{\partial y} \hat{y} + \frac{\partial \phi}{\partial z} \hat{z}$$

$$2) \vec{\nabla} \cdot \vec{C} = \frac{\partial C_x}{\partial x} + \frac{\partial C_y}{\partial y} + \frac{\partial C_z}{\partial z}$$

$$3) \vec{\nabla} \times \vec{C} = \begin{vmatrix} \hat{x} & \hat{y} & \hat{z} \\ \frac{\partial}{\partial x} & \frac{\partial}{\partial y} & \frac{\partial}{\partial z} \\ C_x & C_y & C_z \end{vmatrix} = \hat{x} \begin{vmatrix} \frac{\partial}{\partial y} & \frac{\partial}{\partial z} \\ C_y & C_z \end{vmatrix} + \hat{y} \begin{vmatrix} \frac{\partial}{\partial x} & \frac{\partial}{\partial z} \\ C_x & C_z \end{vmatrix} + \hat{z} \begin{vmatrix} \frac{\partial}{\partial x} & \frac{\partial}{\partial y} \\ C_x & C_y \end{vmatrix}$$

$$4) \vec{\nabla} \cdot (\vec{\nabla} \phi) = \nabla^2 \phi = \frac{\partial^2 \phi}{\partial x^2} + \frac{\partial^2 \phi}{\partial y^2} + \frac{\partial^2 \phi}{\partial z^2}$$

$$5) \vec{\nabla} \times (\vec{\nabla} \phi) = 0$$



teo di Gauss $\oint_{\text{closed surf.}} \vec{C} \cdot d\vec{A} = \int_{\text{Enclused Vol}} \vec{\nabla} \cdot \vec{C} dV$

teo di Stokes $\oint_{\text{closed loop}} \vec{C} \cdot d\vec{l} = \int_{\text{attached area}} (\vec{\nabla} \times \vec{C}) \cdot d\vec{A}$

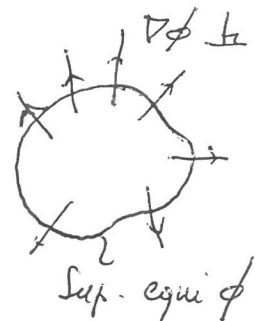
Se $\oint \vec{C} \cdot d\vec{l} = 0 \Rightarrow \exists \phi$ t.c. $\vec{C} = -\vec{\nabla} \phi$

ovvero Se $\nabla \times \vec{C} = 0 \Rightarrow \exists \phi$ t.c. $\vec{C} = -\vec{\nabla} \phi$ ($\vec{\nabla} \times \vec{C} = -\vec{\nabla} \times \vec{\nabla} \phi = 0$)

$\vec{\nabla} \phi$ è la direzione di massima variazione di ϕ .
 $\vec{\nabla} \phi$ è sempre \perp alle superfici equipot.

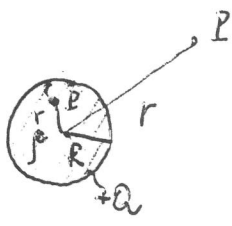
CAMPO $\vec{C} \longrightarrow \vec{F} = \gamma \vec{C}$ FORZA
 γ CARICA DI PROVA (SORGENTE PICCOLA)

POT. $\phi \longrightarrow U = \gamma \phi$ EN. POTENZ



En. mee. = $\frac{1}{2} m v^2 + \gamma \phi = \text{cost}$

SFERA PIENA



$\rho = \frac{dq}{dV}$ $Q_{tot} = \int_{tot} \rho dV$ $\rho = \text{cost} \Rightarrow Q_{tot} = \rho V$

$\Rightarrow \rho = \frac{Q}{V}$

$r > R$ $E 4\pi r^2 = \frac{Q}{\epsilon_0} \Rightarrow \vec{E}_{out} = \frac{Q}{4\pi \epsilon_0 r^2} \hat{r}$ *come una carica puntiforme.*

$r < R$ $E 4\pi r^2 = \frac{Q_{in}}{\epsilon_0} = \frac{\rho}{\epsilon_0} \frac{4\pi r^3}{3} = \frac{Q}{\epsilon_0} \frac{4\pi r^3}{3} \Rightarrow \vec{E}_{in} = \frac{Q r}{4\pi \epsilon_0 R^3} \hat{r}$

$r = R$ $E_{in} = E_{out}$ *come due emisf.*

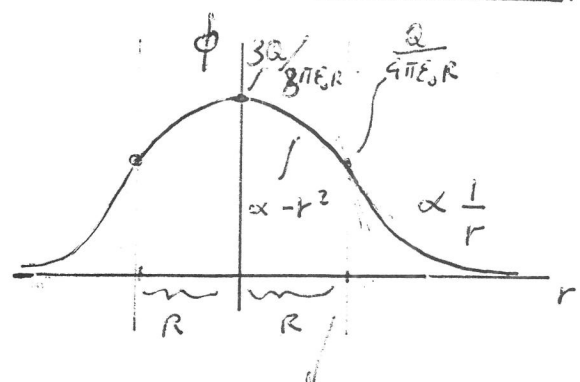
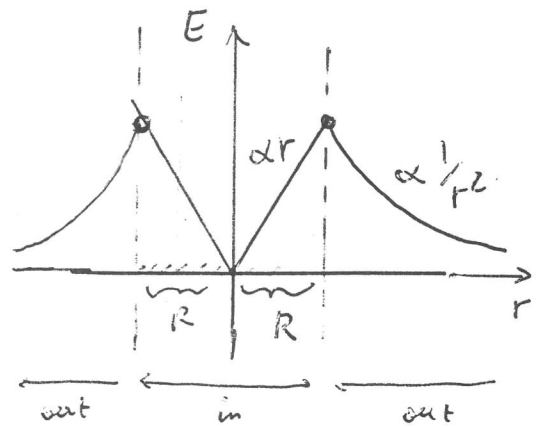
$\int_{P_0}^P \vec{E} \cdot d\vec{l} = \phi(P_0) - \phi(P) \Rightarrow \phi(r) \equiv \phi(P_0) - \int_{P_0}^r \vec{E} \cdot d\vec{l}$ $\phi(P_0 = \infty) = 0$

$\Rightarrow \phi(r) = \int_r^\infty \vec{E} \cdot d\vec{l} \Rightarrow \begin{cases} r > R & \phi = \frac{Q}{4\pi \epsilon_0} \left[-\frac{1}{r} \right]_r^\infty = \frac{Q}{4\pi \epsilon_0 r} = \phi_{out} \end{cases}$

$\begin{cases} r < R & \phi = \int_r^R \vec{E}_{in} \cdot d\vec{l} + \int_R^\infty \vec{E}_{out} \cdot d\vec{l} \end{cases}$

$\Rightarrow \phi_{in} = \int_r^R \frac{Q r}{4\pi \epsilon_0 R^3} dr + \int_R^\infty \frac{Q}{4\pi \epsilon_0 R^2} dr = \frac{Q}{4\pi \epsilon_0 R^3} \left[\frac{r^2}{2} \right]_r^R + \frac{Q}{4\pi \epsilon_0} \left[-\frac{1}{r} \right]_R^\infty$

$\Rightarrow \phi_{in} = \frac{Q}{8\pi \epsilon_0 R} - \frac{Q}{4\pi \epsilon_0 R^3} \left(\frac{r^2}{2} \right) + \frac{Q}{4\pi \epsilon_0 R} = \frac{Q}{8\pi \epsilon_0 R} \left[\frac{R^3}{R} - \frac{r^2}{R^2} \right] = \phi_{in}$



Funza discontinua nelle derivate?

$\Rightarrow \left. \frac{\partial \phi}{\partial r} \right|_{r=R^-} = -\frac{2Q r}{8\pi \epsilon_0 R^2} = -\frac{Q}{4\pi \epsilon_0 R^2}$

$\left. \frac{\partial \phi}{\partial r} \right|_{r=R^+} = -\frac{Q}{4\pi \epsilon_0 R^2}$ *No!*

© Provarci che $\vec{E}_{out} = -\vec{\nabla}\phi_{out}$ $\vec{E}_{in} = -\vec{\nabla}\phi_{in}$
(CASA)

ESEMPIO

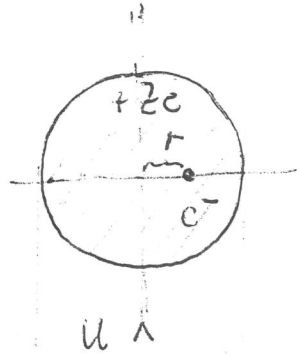
$Q = 10^{-6} C$ $R = 10 cm$ $1/4\pi\epsilon_0 = 9 \times 10^9$ Posto $\phi(\infty) = 0$ calcoliamo $\phi(r=0)$ al centro della sfera rispetto a $\phi(\infty)$.

$$\phi(r=0) - \phi(\infty) = \int_0^R \vec{E}_{in} \cdot d\vec{l} + \int_R^\infty \vec{E}_{out} \cdot d\vec{l} = \frac{Q}{4\pi\epsilon_0} \frac{3}{2R} \quad (\text{da prima ponendo } r=0 \text{ in } \phi_{in})$$

$$= \frac{10^{-6} \times 3}{2 \times 0.1} \times 9 \times 10^9 = 135 \text{ KV}$$

ATOMO DI THOMPSON

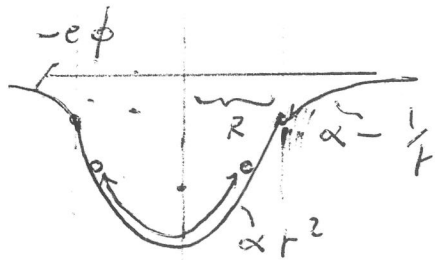
Qual è l'energia potenziale di un elettrone nella sfera carica positiva Ze ?



$$U_{in} = q\phi_{in} = -e\phi_{in} = -\frac{Ze^2}{8\pi\epsilon_0 R} \left[3 - \frac{r^2}{R^2} \right] \text{ e' ribaltato da un fattore } -e$$

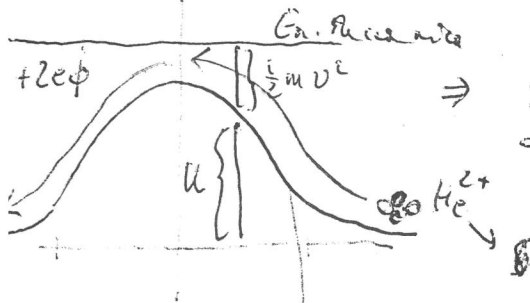
Per $r=R \Rightarrow U_R = -\frac{Ze^2}{4\pi\epsilon_0 R}$

$$U_{out} = q\phi_{out} = -e\phi_{out} = -\frac{Ze^2}{4\pi\epsilon_0 r}$$



$$\vec{F}_{in} = -e\vec{E}_{in} = -\frac{Ze^2}{4\pi\epsilon_0 R^3} r \hat{r} \text{ come la forza elastica}$$

l'elettrone oscilla $m\vec{a} = -\left(\frac{Ze^2}{4\pi\epsilon_0 R^3}\right) r \hat{r}$ $\vec{a} = \frac{d^2 r}{dt^2} \hat{r}$



$$\frac{d^2 r}{dt^2} + \frac{Ze^2}{4\pi\epsilon_0 m R^3} r = 0 \rightarrow \omega_0^2$$

$$\omega_0 = \left(\frac{Ze^2}{4\pi\epsilon_0 m R^3} \right)^{1/2}$$

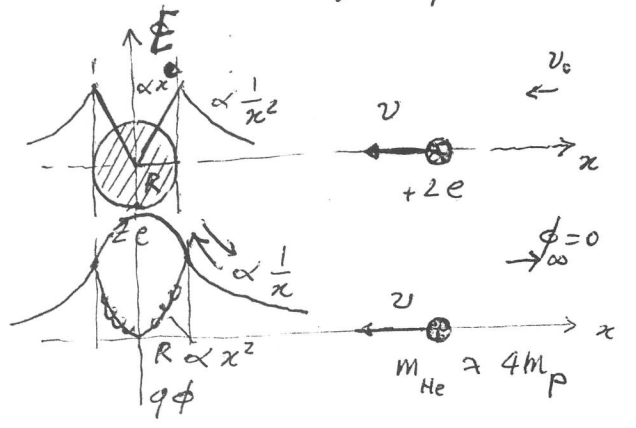
Qual è l'energia potenziale di un atomo di He coniato $2+$?

L'fondamento è come ϕ moltiplicato la carica $+|Ze| \Rightarrow$ è come una collina.

Se $\frac{1}{2} m v_0^2$ dell'atomo $> U_{max}$ penetra e supera la sfera $+Ze$.

Senno' forma un'atomo.

D) Per Thomson quando l'elettrone è al centro e' immobile. Se la carica è spostata di x_0 dall'equilibrio inizierà ad oscillare con frequenza ω_0 e quella sarà la frequenza della sua emissione.
 Se prendo atomi d'oro Ze è la carica dell'atomo (escluso gli elettroni) e se gli sparo nuclei di He^{2+} di carica $|2e|$ ecco come accade



$R \approx$ atome radius
 $\frac{1}{2} m_{He^{2+}} v_0^2 = \frac{1}{2} m_{He^{2+}} v^2 + |2e| \phi(x) \quad x \geq R$

$v = 0$ tra $R \leq x < \infty$ se

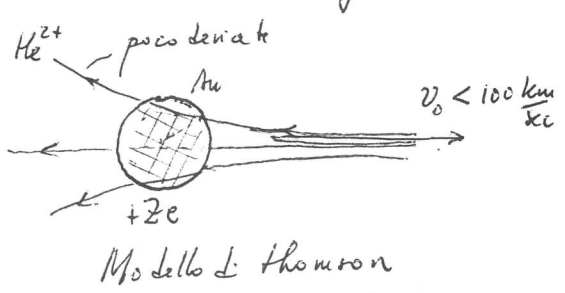
$\frac{1}{2} m_{He} v_0^2 \leq \frac{2eZe}{4\pi\epsilon_0 R} \Rightarrow v_0 \leq \sqrt{\frac{Ze^2}{\pi\epsilon_0 R m_{He}}}$

$e = 1.9 \times 10^{-19} C \quad \frac{1}{\pi\epsilon_0} = 9 \times 10^9 \quad R \approx 10^{-10} \quad Z \approx 10 \Rightarrow v_0 \leq \left(\frac{10 \times 4 \times 10^{-38} \times 9 \times 10^9}{10^{-10} \times 4 m_p} \right)^{1/2}$

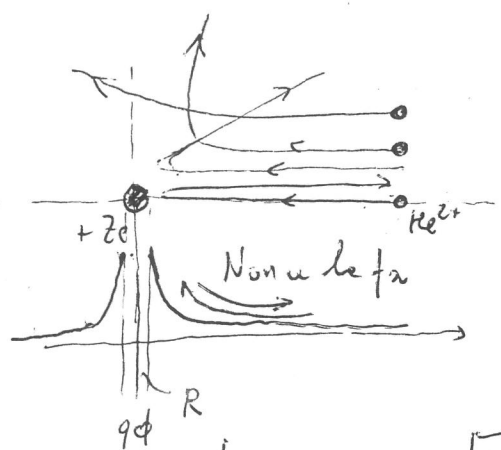
$\Rightarrow v_0 \leq \frac{10^{11}}{10^8} \approx 10^5 m/sec$ tutte le particelle con $v_0 \leq 100 km/sec$ si bloccano e tornano indietro.

Se $v_0 > 100 km/sec$ passano tutte!!

Per $x < R$ la particella è accelerata, poi rallenta fino alla v di entrata e se $\frac{1}{2} m v^2 > q\phi(R)$ riesce respinta. L'He attraversa il nucleo Ze come una massa pioletinosa. Se l'urto non è centrale:



Ma si vedevano più sacco di particelle indietro! L'unica è che indep. da v_0 degli atomi di He^{2+} alla fine essi si ammassavano e tornavano indietro o venivano fortemente deviati. La curva $\propto 1/x^2$ doveva essere $< R$ doveva valer anche dentro il raggio atomico dell'At. L'unica era supporre che la carica $+Ze$ fosse concentrata al centro di modo da deviare meglio gli atomi He^{2+} .



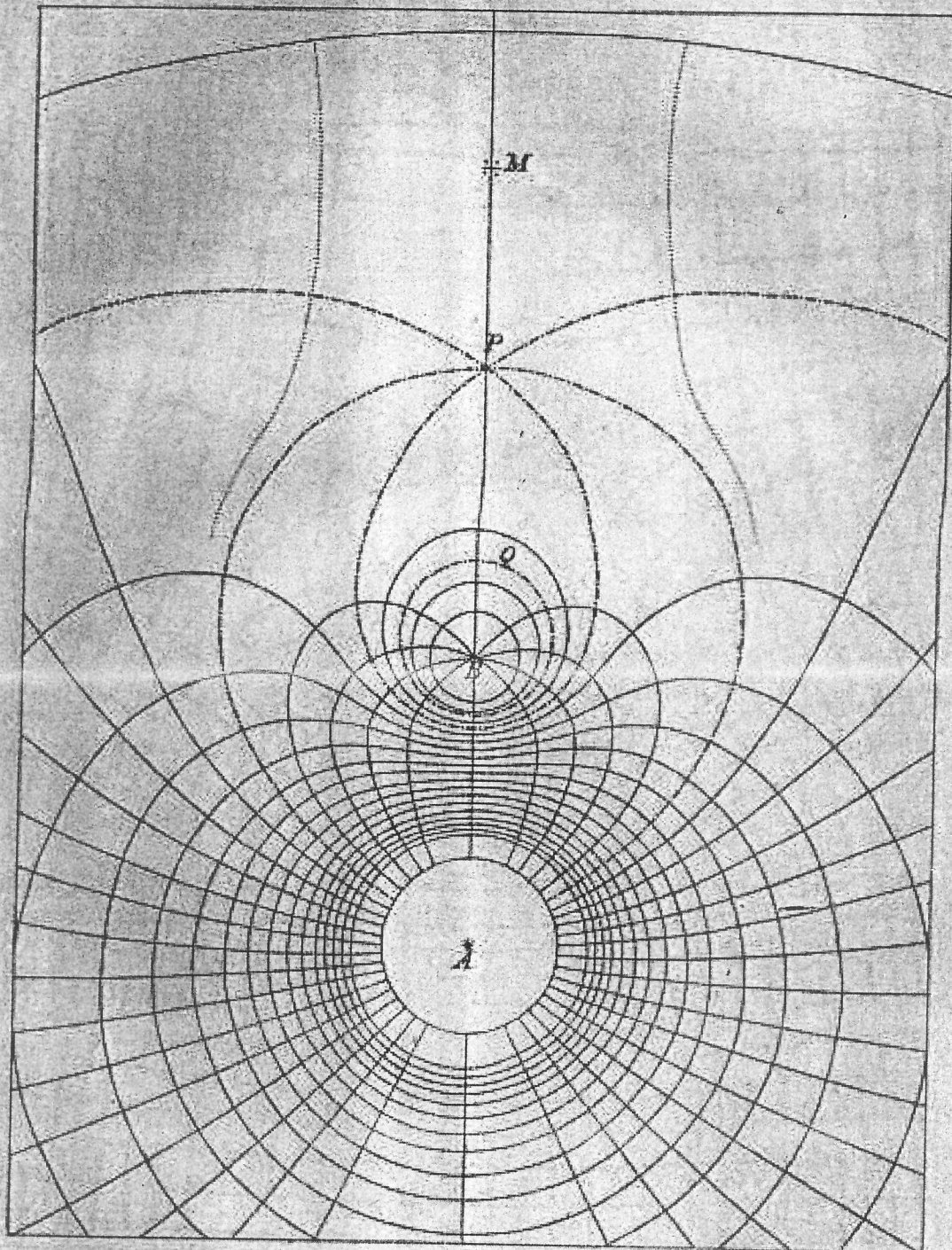
$v_0 \leq \sqrt{\frac{Ze^2}{\pi\epsilon_0 m_{He} R}}$

Se R è piccolo v_0 può essere e anche He veloci verranno deviati indietro.

$R \leq \left(\frac{4\pi\epsilon_0 m_{He} v^2}{4Ze^2} \right)^{-1} \approx 10^{-17} m$

NUCLEO → Atomo NUCLEARE.

FIG. II
Art. 119



Lines of Force and Equipotential Surfaces.

$A = 20$ $B = 5$ P , Point of Equilibrium. $AP = 2AB$

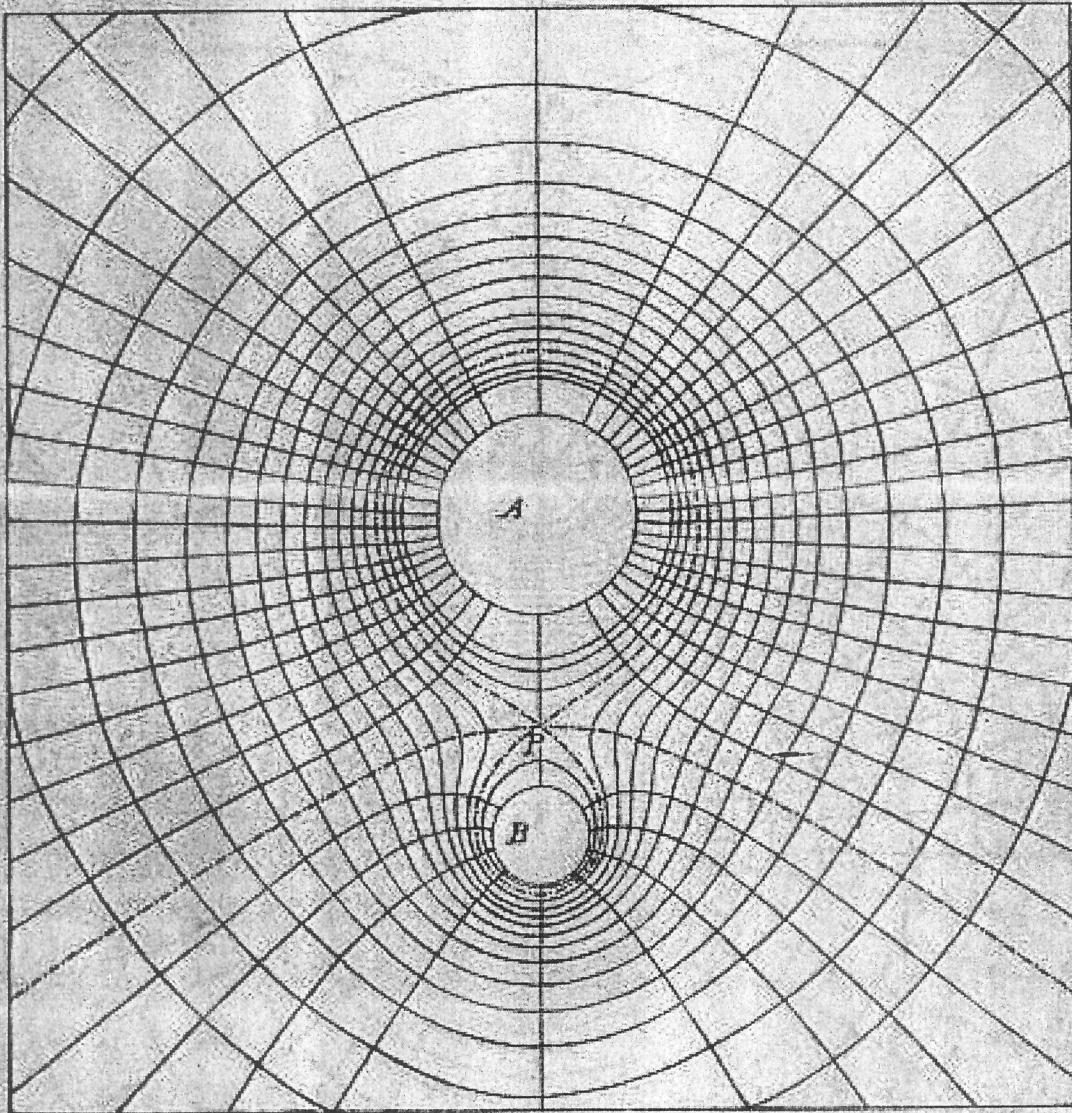
Q , Spherical surface of Zero potential.

M , Point of Maximum Force along the axis.

The dotted line is the Line of Force $Y - OI$. thus.....

FIG. 1.

Art. 118.



Lines of Force and Equipotential Surfaces.

A - 20.

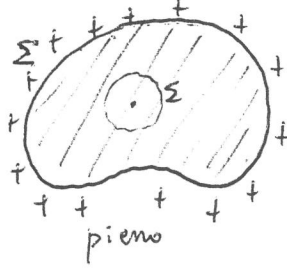
B - 5.

P, Point of Equilibrium.

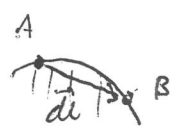
AP = $\frac{1}{3}$ AB.

CONDUTTORI (1)

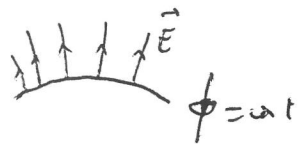
La carica va in superficie per annullare il campo dentro. Se
 ① \vec{E} dentro la carica è ovunque zero $\Rightarrow \vec{E} = 0$
 Infatti $\oint_{\Sigma} \vec{E}_{int} \cdot d\vec{A} = \frac{Q_{int}}{\epsilon_0} = 0 \Rightarrow \boxed{\vec{E}_{int} = 0} \quad \boxed{Q_{int} = 0}$
 ② $\Rightarrow \vec{E} = -\nabla\phi = 0 \Rightarrow \boxed{\phi_{int} = cost} \quad \phi_A - \phi_B = \int_A^B \vec{E}_{int} \cdot d\vec{l} = 0 \Rightarrow \phi_A = \phi_B$



③ $\phi(\text{superficie}) = cost$ Infatti se ϕ non è cost $\Rightarrow \exists A, B \text{ t.c. } \phi_A - \phi_B \neq 0$
 $\Rightarrow \phi_A - \phi_B = \int_A^B \vec{E} \cdot d\vec{l} \neq 0 \Rightarrow \vec{E} \cdot d\vec{l} \neq 0 \Rightarrow$
 c'è una componente sulla superficie di \vec{E} e \Rightarrow c'è moto di cariche che non è possibile.



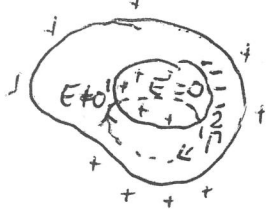
④ $\vec{E} \perp \text{superficie}$ $\phi = cost$



⑤ Tra 1 e 2 $\vec{E} \neq 0$ per Gauss: $\oint_{\Sigma} \vec{E} \cdot d\vec{A} = \frac{Q_{int}}{\epsilon_0} \neq 0 \Rightarrow \vec{E} \neq 0$
 Quindi per Gauss è possibile che ci sia una Q_{int}^+ e Q_{int}^-

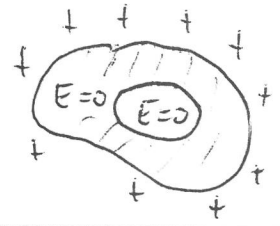


Su un loop Γ allora $\oint_{\Gamma} \vec{E} \cdot d\vec{l} = \int_{\Gamma} \vec{E} \cdot d\vec{l} + \int_{\Gamma} \vec{E} \cdot d\vec{l} \neq 0$

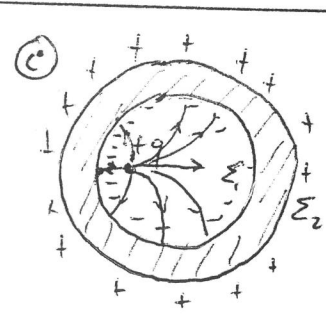


(Vedi Feynman pg 5-8)

Ma $\oint \vec{E} \cdot d\vec{l} = 0$ sempre !!! $\Rightarrow \vec{E}_{int} = 0$
 $\Rightarrow \boxed{Q_{int} = 0} \quad Q_{int}^+ = Q_{int}^- = 0$

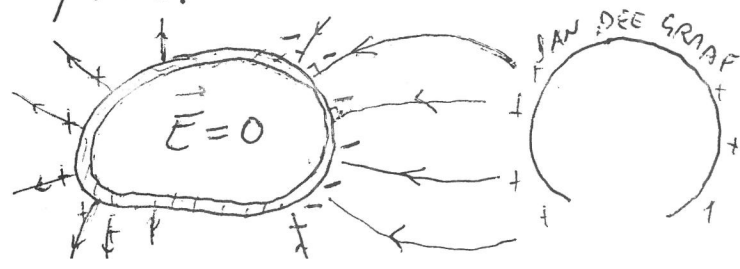


(Paolo nella pentola)

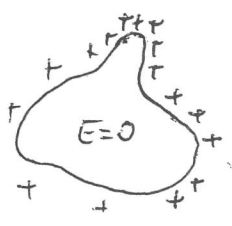


Metto +q nel conduttore cavo.
 Tra Σ_1 e Σ_2 $\vec{E} = 0$. Ma dentro Σ_1 c'è +q \Rightarrow su Σ_1 ci deve essere -q.
 Ma se ho -q, su Σ_2 devo avere +q perché il conduttore è neutro. Ma mentre -q dentro non è uniforme fuori +q lo è.

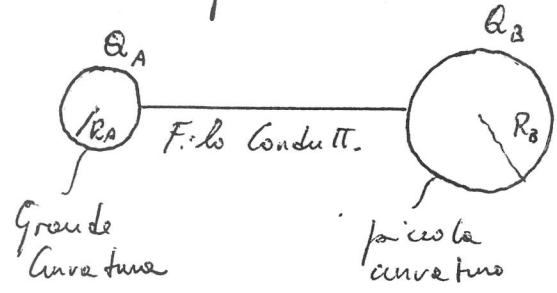
Se metto un conduttore in un campo \vec{E} esterno dentro viene schermato, **CAVITÀ DI FARADAY**.



D) La carica si addensa alle punte.



infatti:



$$\phi_A = \frac{Q_A}{4\pi\epsilon_0 R_A} \quad \phi_B = \frac{Q_B}{4\pi\epsilon_0 R_B}$$

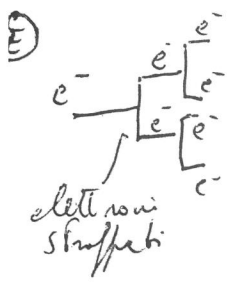
Ma $\phi_A = \phi_B \Rightarrow$

$$\frac{Q_A}{R_A} = \frac{Q_B}{R_B} \quad \sigma = \frac{Q}{4\pi R^2}$$

$$\Rightarrow \frac{\sigma_A 4\pi R_A^2}{R_A} = \frac{\sigma_B 4\pi R_B^2}{R_B} \Rightarrow \frac{\sigma_A}{\sigma_B} = \frac{R_B}{R_A} > 1 \Rightarrow \boxed{\sigma_A > \sigma_B}$$

Le σ è maggiore laddove la curvatura lo è e anche $E = \sigma/\epsilon_0$ è maggiore.

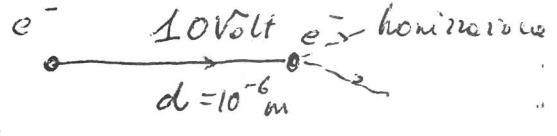
FULMINI E PARAFULMINE



Gli e^- in aria viaggiano in media $1 \mu m$. $\langle d \rangle \approx 1 \mu m = 10^{-6} m$

	O_2	N_2
Enrg. Ionizz.	12.5 eV	15 eV

$1 eV = 1.6 \times 10^{-19}$ Joules.



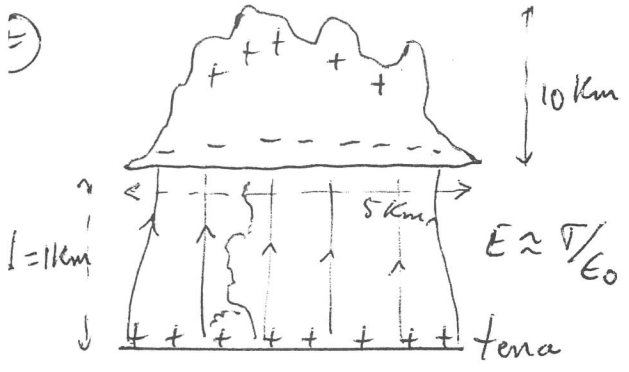
10 eV come ordine d'ipressione

$$|E| = \left| \frac{\Delta\phi}{\Delta x} \right| = \frac{10 \text{ Volts}}{10^{-6} m} = 10^7 \frac{V}{m} \text{ e si \u00e0 ionizzazione. Per la precisione}$$

si ha la scarica per $E \approx 3 \times 10^6 \frac{V}{m}$.

QUESITO: Quanto \u00e8 il saltappo dell'auto quando prendiamo la scossa se il filo la prende a $d \approx 3 mm$ dalla portella? $V = \Delta\phi = 3 \times 10^6 \frac{V}{m} \times 3 \times 10^{-3} m$

\u2192 Non \u00e8 $\Delta\phi$ che uccide ma $I = dq/dt$ la corrente. ≈ 10000 Vels



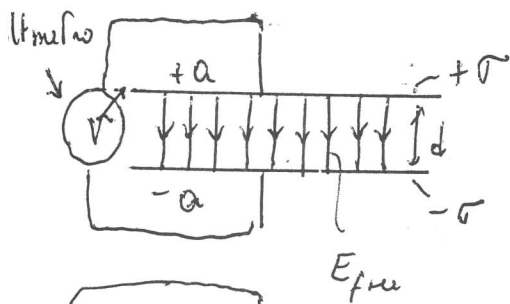
$$\Delta\phi = E d = 3 \times 10^6 \frac{V}{m} \times 10^3 m \approx 3 \times 10^9 \text{ Volts}$$

\u2193
di Scarica

e si ha il fulmine.
Passa $I \approx 10^4$ Amp\u00e8ri.

GLI ISOLANTI (Modello di Faraday)

1) Esperienza di Faraday. "Che succede se piazzo uno strato isolante fra due conduttori?"
 ① Attacco il condensatore alla batteria e lo carico. Stacco i fili e misuro la $V = \phi_A - \phi_B$ fra \equiv senza isolante



$$\boxed{\begin{aligned} E &= \frac{V}{d} & V &= E d & C &= \frac{Q}{V} = \frac{\epsilon_0 A}{d} \\ \text{fra } \epsilon_0 & & \text{fra } & & \text{fra } & \end{aligned}}$$

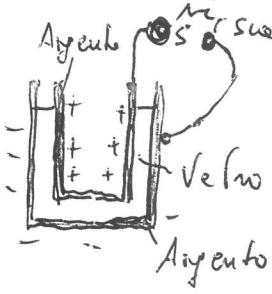
② Inserisco ^{una} lastra di isolante spessa d fra le piastre. Misuro la V e vedo che diminuisce di un fattore K che dipende dal materiale. Così

$$\boxed{V_{\text{con isolante}} = \frac{V_{\text{fra}}}{K} \Rightarrow E_{\text{con isolante}} = \frac{E_{\text{fra}}}{K}; C = \frac{\epsilon_0 A}{d} K = K C}$$

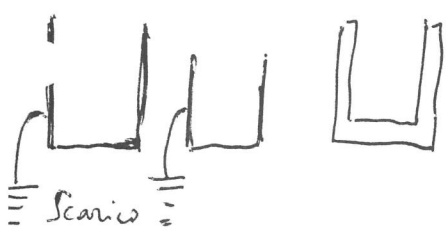
Perché?

Con isolante aumento e posso accumulare più carica!

2) Si conosceva la bottiglia di Leyda (vedi scheda storica).

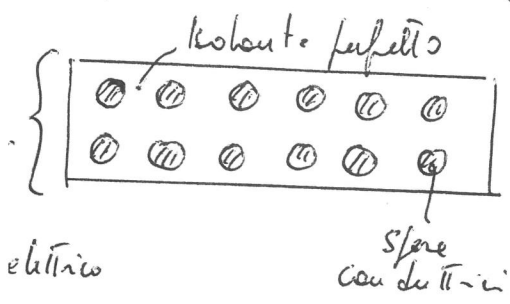


Se si carica con un generatore elettrostatico e poi si tocca l'armatura esterna con un' estremità di un conduttore e si avvicina l'altra estremità alla sfera S (collegate all'armatura interna) vedo una scarica. Posso scaricarlo in modo diverso? Sì! Lo smonto e tocco le armature separatamente e scarico a terra.

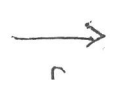


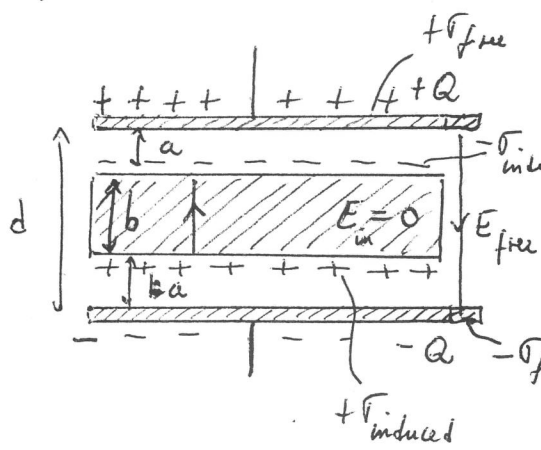
⇒ Rimonto e testo col conduttore se ci sono scintille. Non ce ne dovrebbero essere eppure vedo nuovamente una scarica. Che fine a vera fatto l'energia? La carica se ne sono andate via o no?

3) Ipotesi di Faraday. "Gli isolanti sono fatti di materiali conduttori perfetti in una matrice perfettamente isolante".



Conduttori perfetti e isolanti perfetti non li possono avere ma buoni conduttori e buoni isolanti si. Dipende da quante "sfere conduttrici" per unità di volume ci sono. Infatti devo spiegare perché C aumenta perfette. se inserisco un isolante (dielettrico) fra le armature.





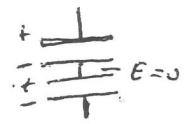
Infatti se inserisco una lamina metallica fra le armature esso si polarizza per induzione fino a che dentro il corpo è annulla.

$$E_{in} = 0 \Rightarrow |E_{Elastica}| = |E_{free}| \Rightarrow \frac{\sigma_{induced}}{\epsilon_0} = \frac{\sigma_{free}}{\epsilon_0}$$

$$\Rightarrow \sigma_{ind} = \sigma_{free}$$

Le quantità di carica indotta è uguale a quella depositata nelle armature (se non $E_{in} \neq 0$ e non può essere un metallo).

⇒ Il sistema si comporta come due condensatori in serie



$$\Rightarrow \frac{1}{C_{TOT}} = \frac{1}{C_1} + \frac{1}{C_2} = \frac{a}{\epsilon_0 A} + \frac{b}{\epsilon_0 A} = \frac{2a}{\epsilon_0 A} \Rightarrow C_{TOT} = \frac{\epsilon_0 A}{2a}$$

$C = \frac{\epsilon_0 A}{d}$ era la capacità del condensatore senza il metallo ⇒ $C_{TOT} = \frac{C}{2}$

$$2a + b = d \Rightarrow 2a = d - b$$

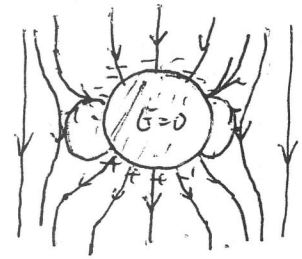
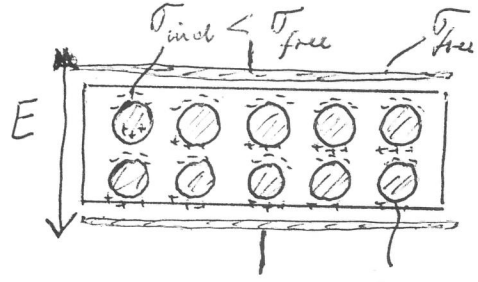
$$C_{TOT} = C \left(\frac{d}{d-b} \right) = kC$$

Coefficiente di un fattore

$$k = \frac{d}{d-b} = \frac{d-b+b}{d-b} = 1 + \frac{b}{d-b} > 1$$

⇒ È possibile che negli isolanti ci siano sfere conduttrici.

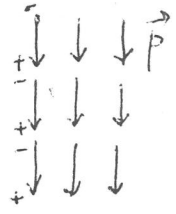
Modello di Faraday



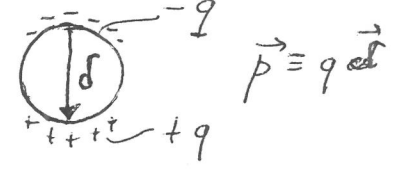
Le singole sfere si comportano come piccolissimi dipoli. Quindi possiamo dimenticare il singolo modello e ipotizzare che ci siano tanti dipoli allineati.

$$E_{TOT} = \frac{V_{TOT}}{d} < E_{free}$$

Quanta carica indotta σ_{ind} si ha in questo caso?



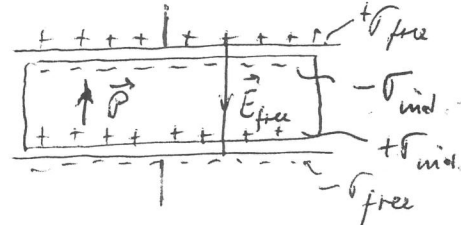
$$P_{TOT} = N \vec{p} = N q \delta \quad \boxed{P = n q \delta} \quad n = \frac{N}{V}$$



$$P = n q \delta = \frac{N}{V} q \delta = \frac{\text{Numero di uno strato } q \delta}{\text{Volume strato}} = \frac{\text{Numero di strati } q \delta}{A \times \delta}$$

$$\Rightarrow \boxed{P = \sigma_{induced}}$$

σ_{ind} = Polarizzazione per unità di Volume



$$E_{TOT} = E_{free} - E_{ind} = \frac{\sigma_{free}}{\epsilon_0} - \frac{\sigma_{ind}}{\epsilon_0} = \frac{\sigma_{free} - P}{\epsilon_0}$$

È ragionevole che $\sigma_{ind} \propto \sigma_{free} \Rightarrow P \propto E_{free} \propto E_{TOT}$

$$\vec{P} = \chi \epsilon_0 \vec{E}_{TOT}$$

$$\Rightarrow E_{TOT} = E_{free} - \frac{\chi \epsilon_0 E_{TOT}}{\epsilon_0} \Rightarrow E_{TOT} (1 + \chi) = E_{free}$$

$$\Rightarrow \boxed{E_{TOT} = E_{free} / (1 + \chi)} \quad \rightarrow \quad \boxed{V = \frac{1}{1 + \chi}} \quad C = \text{cost. del sistema}$$